

КИНЕТИКА ДЕЛОКАЛИЗАЦИИ ВОЗБУЖДЕНИЙ В НЕУПОРЯДОЧЕННЫХ СИСТЕМАХ

В.П.Гапонцев, Ф.С.Джепаров, Н.С.Платонов, В.Е.Шестopal

Впервые экспериментально определена до уровня 10^{-3} кинетика делокализации возбуждений (автокоррелятор $P_{00}(t)$) в неупорядоченной системе однотипных центров. Показано, что лишь на этой стадии процесса происходит выход на диффузионную асимптотику. Результаты эксперимента совпали с теоретическим предсказанием.

Характер дальней асимптотики кинетики распада первичных возбуждений и момент выхода на эту асимптотику являются принципиально важными вопросами теории миграции возбуждений в неупорядоченных системах однотипных центров (доноров). Однозначного теоретического решения этой задачи пока не существует. Известны три попытки экспериментов в этом направлении. В исследованиях кинетики деполяризации β -активных ядер¹ и деполяризации люминесценции красителя² прослежен распад на порядок величины, что недостаточно для выхода на асимптотику. В эксперименте³ на ионах Yb^{3+} в фосфатном стекле методом нестационарной селективной спектроскопии прослежена зависимость $P_{00}(t)$ в

диапазоне до $3 \cdot 10^{-2}$. В области $0,05 - 0,03$ наблюдалось поведение $P_{00} \sim t^{-3/2}$, что послужило основанием для вывода об обнаружении диффузионной стадии делокализации. Однако небольшой исследованный диапазон распада и присутствие ряда затрудняющих сопоставление с теорией факторов (сильная дисперсия излучательных вероятностей распада, уширение со временем полосы люминесценции селективно возбужденных центров и т. д.) стимулировали продолжение исследований в этом направлении.

Процесс миграции возбуждений по системе случайно распределенных в узлах регулярной решетки доноров обычно описывается уравнением

$$\dot{\tilde{P}}_{xy} = - \sum_z (n_z \nu_{zx} n_x \tilde{P}_{xy} - n_x \nu_{xz} n_z \tilde{P}_{zy}), \quad \tilde{P}_{xy}(t=0) = n_x \delta_{xy} c^{-1}. \quad (1)$$

Здесь $\tilde{P}_{xy}(t)$ – условная вероятность обнаружить возбуждение в узле x , если при $t=0$ оно было в y ; $n_x = 1$ (или 0), если узел x занят (не занят) донором; $\langle n_x \rangle = c$; $\nu_{zx} = \nu_0 r_0^6 / |x-z|^6 = C_{DD} |x-z|^{-6}$ – скорость перехода. Теоретически проблема состоит в вычислении $P_{xy}(t) = \langle \tilde{P}_{xy}(t) \rangle$ (усреднение по числам заполнения n_q). В настоящей работе исследовалась автокоррелятор $P_{00} = P_{yy}$. Использовалась предложенная в ⁴ методика расчета P_{00} , основанная на полуфеноменологической системе уравнений, которая в представлении Лап-

ласа $(f(\lambda) = \int_0^\infty dt e^{-\lambda t} f(t))$ и в пределе малых концентраций ($c \rightarrow 0$, но $c^2 t$ конечно) имеет вид

$$\lambda P_{xy} = \delta_{xy} - \sum_z (N_{zx}^y P_{xy} - N_{xz}^y P_{zy}), \quad (2)$$

$$N_{zx}^y(\lambda) = c \nu_{zx} Q(\lambda + \nu_{zx}) / Q(\lambda), \quad z \neq y, \quad (3)$$

$$N_{yx}^y = N_{xy}^y c^{-1}, \quad Q(t) = \langle \exp(-\sum_z n_z \nu_{zx} t) \rangle = \exp(-\sqrt{\beta t}). \quad (4)$$

Эти уравнения исправляют полуфеноменологическую теорию непрерывных случайных блужданий (ТНСБ) Шера – Лэкса ^{5, 6} посредством учета условия $\lim_{x \rightarrow y} P_{x \neq y} (\beta t \gg 1) = c P_{00} (\beta t)^{-1}$,

правильного значения первого члена разложения P_{xy} в ряд по c и других точных предельных свойств ^{4, 8}. Сшивая, согласно ⁴, первые два члена асимптотики $P_{00} (\beta t \rightarrow \infty)$ решения уравнений (2) – (4) и асимптотики умеренных ($\beta t \lesssim 1$) времен, получаем

$$P_{00}(t) = Q(1) + (1 - Q(t)) [1 + \varphi(\mu\beta(t+\tau))^{-1/2}] (\mu\beta(t+\tau))^{-3/2}, \quad (5)$$

где $\beta = \frac{16}{9} \pi^3 C_{DD} N_D^2$, N_D – плотность доноров, $\varphi = 1,93$, $\mu = 0,79$, $\mu\beta\tau = 3,62$. Отличительной особенностью этого выражения является его диффузионный характер ($P_{00}(t \rightarrow \infty) \sim t^{-3/2}$), а также наличие в области $0,5 \leq \lg \beta t \leq 2$ "переколебания" в координатах $(\lg P_{00}(t), \lg \beta t)$, предшествующего выходу на асимптотику. Отметим, что в исходной версии ТНСБ ^{5, 6} ядра N_{zx}^y определены формулой (3) при всех z , и поэтому в пределе малых c $P_{00}(t) = Q(t) = \exp(-\sqrt{\beta t})$. Подобная "экспоненциальная" асимптотика P_{00} непосредственно следует из ряда других работ (см., например, ^{9–11}).

В эксперименте использовался метод селективного возбуждения и регистрации кинетики распада люминесценции отдельных групп центров Yb^{3+} на контуре неоднородно-уширенной резонансной полосы (НУП), связанной с переходом ${}^2F_{5/2}(1) - {}^2F_{7/2}(1)$. При выборе объекта и условий эксперимента мы стремились обеспечить максимальное соответствие условиям теоретических построений. Наиболее удобным оказался оптически изотропный кристалл $\text{La}_{0,96}\text{Yb}_{0,04}\text{P}_5\text{O}_{14}$ с полушириной НУП $\Delta = 3,8 (1) \text{ cm}^{-1}$, $E_{max} = 10251 \text{ cm}^{-1}$ и длительностью радиационного распада $\tau_0 = 1400 (20) \text{ мкс}$. При указанном значении Δ была легко реализована достаточная селективность по каналам возбуждения (лазер на крис-

талле $\text{LiF} : \text{F}_2^+$ с полушириной полосы генерации $\leq 0,5 \text{ см}^{-1}$) и регистрации (двойной монохроматор ДФС-12 со спектральной щелью $\leq 0,8 \text{ см}^{-1}$. Вместе с тем Δ было мало по сравнению со штарковским расщеплением уровней $^2F_{7/2}$ и $^2F_{5/2}$ ($\Delta E_{12}, \Delta E_{1'2'} > 150 \text{ см}^{-1}$), что позволило подбором температуры образца ($T = 27,0$ (5) К) обеспечить условие $\Delta \ll kT \ll \Delta E_{12}, \Delta E_{1'2'}$, эквивалентное двухуровневости системы и симметричности переноса энергии по контуру НУП. Исследования время-разрешенных спектров люминесценции подтвердили, что значение ν_{xz} не зависит от энергетической расстройки в пределах контура НУП. Это следует из отсутствия заметных деформаций контура широкой полосы вторичной люминесценции при различных частотах возбуждения E_g и его близости к контуру при широкополосном возбуждении (рис. 1). Отсутствие заметной дисперсии значений τ_0 по контуру НУП и постоянство полуширины узкого пика первичной люминесценции (рис. 1) со временем также существенно отличали выбранный объект от фосфатного стекла³.

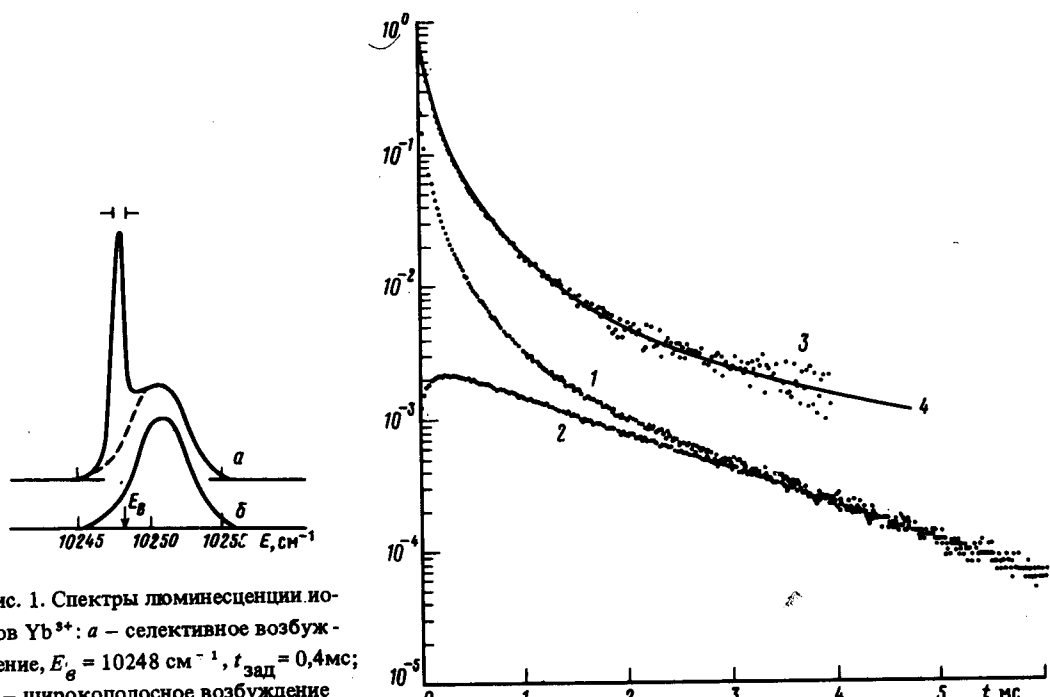


Рис. 1. Спектры люминесценции ионов Yb^{3+} : a – селективное возбуждение, $E_g = 10248 \text{ см}^{-1}$, $t_{\text{зад}} = 0,4 \text{ мс}$; b – широкополосное возбуждение

Рис. 2

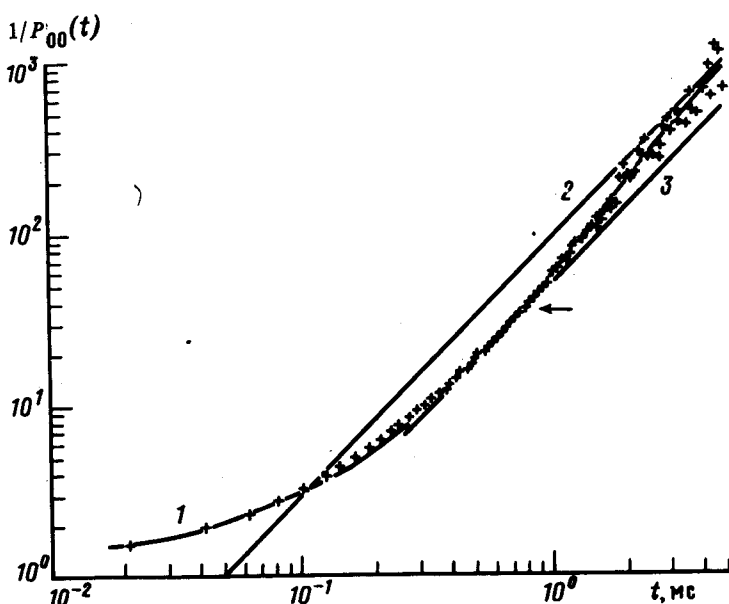


Рис. 2. Кинетики люминесценции ионов Yb^{3+} при регистрации на частотах E_g (1) и E_{II} (2), а также экспериментальная (3) и теоретическая (4) с $\beta = 27 \text{ см}^{-1}$ зависимости функции $P_{00}(t)$

Рис. 3. Экспериментальная (+) и теоретическая (1) зависимость $P_{00}(t)$ в координатах $-\lg P_{00}(t)$ от $\lg t$. 2 – диффузионная асимптотика, 3 – “ложная” диффузионная асимптотика

Кинетические измерения были выполнены на прецизионной установке ¹² методом многоканального счета фотонов с использованием 1024-канального анализатора (скорость сканирования 10 мкс/канал). На рис. 2 приведены кинетики, соответствующие узкому пику люминесценции $I(t)$ на частоте возбуждения, $E_g = 10248 \text{ см}^{-1}$ (кривая 1) и широкой полосе вторичной люминесценции $I_{\Pi}(t)$, $E_{\Pi} = 10253 \text{ см}^{-1}$ (кривая 2). Значение E_g было тщательно подобрано экспериментально для получения максимального интервала изменения автокоррелятора $P_{00}(t) = (I(t) - \alpha I_{\Pi}(t)) / I_0(t)$, где $I_0(t)$ – функция излучательного распада ионов Yb^{3+} , а множитель α обеспечивает нормировку функции $I_{\Pi}(t)$ на значения функции $I(t)$ на дальней стадии распада, т. е. при $P_{00}I_0 \ll I_{\Pi}\alpha$. Из рис. 2, кривая 3, видно, что достигнутый диапазон изменения $P_{00}(t)$ составил три порядка величины. Анализ ранней стадии распада по методике, использованной в ³, показал доминирующий вклад диполь-дипольного взаимодействия ионов Yb^{3+} в перенос возбуждений между ними и позволил определить константу переноса $\beta = 30 \pm 3 \text{ мс}^{-1}$. Это значение практически совпадает со значением $\beta = 27 \pm 1 \text{ мс}^{-1}$, при котором достигается наилучшее соответствие кривой 3 с расчетом по формуле (5). На рис. 3 показан вид $P_{00}(t)$ в координатах: $-\lg P_{00}$ и $\lg t$. Ясно видно, что в области $0,5 \leq \lg P_{00} \leq 2$ присутствует эффект "переколебания", что полностью соответствует теоретическому предсказанию (кривая 1).

Приведенные данные позволяют сделать вывод, что в нашей работе впервые экспериментально обнаружен выход кинетики делокализации возбуждений в неупорядоченной системе доноров на диффузионную асимптотику и подтверждено предсказание теории, что этот выход в пределе малых t должен происходить при $\lg \beta t \geq 2$ на третьем порядке кинетики распада первичных возбуждений. Формула (5) оказалась достаточно точной и может быть рекомендована для применений при анализе экспериментальных данных.

Из вышеизложенного также следует, что вывод работы ³ об обнаружении диффузионной стадии кинетики делокализации в области $P_{00} \sim 0,05 \div 0,03$ не подтвердился. На рис. 3 стрелкой отмечена конечная точка исследованного в ³ интервала. Ясно видно, что хотя здесь $P_{00} \sim t^{-3/2}$, кинетика делокализации еще далека от асимптотической диффузионной.

В заключение авторы благодарят В.А.Ацаркина за полезные советы, Б.Н.Литвина – за предоставление кристаллов $\text{La}_{0,96}\text{Yb}_{0,04}\text{P}_5\text{O}_{14}$ и Т.Т.Басиева и С.Б.Мирова – за кристалл $\text{LiF} : \text{F}_2^+$.

Литература

1. Булгаков М.И., Гулько А.Д., Джепаров Ф.С., Тростин С.С. Сб. "Проблемы магнитного резонанса", Славяногорск, 1981, с. 54.
2. Gochanour C.R., Fayer M.D. J. Phys. Chem., 1981, **85**, 1989.
3. Алимов О.К., Ашурев М.Х., Басиев Т.Т. и др. Препринт ФИАН-160, 1983; Ашурев М.Х., Басиев Т.Т., Бурштейн А.И. и др. Письма в ЖЭТФ, 1984, **40**, 98.
4. Джепаров Ф.С. Сб. "Радиоспектроскопия", Пермь, 1980, с. 135.
5. Scher H., Lax M. Phys. Rev. B., 1973, **7**, 4491.
6. Wugmeister B.E. Phys. stat. sol. (b), 1976, **76**, 161.
7. Джепаров Ф.С., Лундин А.А. ЖЭТФ, 1978, **75**, 1017.
8. Джепаров Ф.С. Сб. "Радиоспектроскопия", Пермь, 1983, с. 20.
9. Godzik K., Jortner J. J. Chem. Phys., 1980, **72**, 4471.
10. Gochanour C.R., Andersen H., Fayer M. J. Chem. Phys., 1979, **70**, 4254.
11. Nieuwenhuizen J., Mukamel S. Phys. Rev. B., 1984, **30**, 4426.
12. Гапонцев В.П. Кн. "Лазерные фосфатные стекла", М.: Наука, 1980, гл. 3.

Институт радиотехники и электроники

Академии наук СССР

Институт теоретической и
экспериментальной физики

Поступила в редакцию

16 апреля 1985 г.